

(10) 酸化鉄ペレットの粒内ガス拡散係数の測定

八幡製鉄東京研究所 近藤真一 原行明

・金田敏男

酸化鉄ペレットをガス還元する場合の kinetics の研究や、拡散性の評価において、ペレット粒内のガス拡散抵抗の評価が問題である。筆者らはすでに低温域 (570°C 以下) におけるペレットの水素還元率と多孔質を考慮した場合も含めて、反応速度係数と粒内有効拡散係数を求める解析方法を提案¹⁾ (2) (3) が、粒内拡散係数の直接測定を目的として、常温下でのペレット内のガス拡散係数を Wicke-Kallenbach method で測定してみた。

方法は還元したペレットをアクリル樹脂中に埋め、これをペレットを Fig. 1 のよう両端面間に押り出し、これを Fig. 2 に示した装置で、等圧下で定常相互拡散を行なわせ、 π_2 流量と濃度の測定から拡散量を知り、有效拡散係数を求める。ガスは H_2 と N_2 を使用した。有効拡散係数 D_e の計算はペレット内の組成分布の測定値²⁾ から分子拡散域とし次の式によった。

$$n_A + n_B = \frac{Ae}{L} \cdot \frac{P}{RT} D_e \ln \left\{ \frac{n_A y_{B,2} - n_B y_{A,2}}{n_A y_{B,1} - n_B y_{A,1}} \right\} \quad (1)$$

n : π_2 の組成量 (拡散方向の符号を含む)

Ae : 拡散面積, L : 拡散距離 P : 圧力

R : ガス定数, T : 温度, y : モル分率

添字, A, B: 成分, 1, 2: モルの割合

拡散面積 Ae (Fig. 1) は次の式によった。

$$Ae = 2\pi r_0 (x_1 + x_2) / \ln \left(\frac{r_0 + x_1}{r_0 - x_1} \right) \left(\frac{r_0 + x_2}{r_0 - x_2} \right) \quad (2)$$

実験結果の一例を Table 1 に示す。使用した

Table 1 実験結果

ペレットの形状	Run No.	Sample	(Ae/L)	T	Q ₁	Q ₂	y _{H₂,1}	y _{H₂,2}	n _{H₂}	n _{N₂}	n _{H₂} /n _{N₂}	D _e	S
鉱石 (-200 mesh) x 5			cm ²	°C	cm ³ /m	cm ³ /m	%	%	cm ³ /m	cm ³ /m		cm ² /sec	
水素還元 (1300 台 1 台)	1	550 ²⁾	0.571	23	3.87	47.8	11.2	3.6	4.91	1.29	3.86	0.0912	0.118
焼成 (2 (気孔率約 21%) = 550 台, 500 °C で水素還元)	2	"	1.58	25	31.6	48.7	23.4	8.7	11.4	2.75	4.15	0.0928	0.119
	3	500 (550)	1.41	25	32.9	46.8	20.1	6.4	9.42	2.11	4.49	0.0785	0.0987
	4	550	1.16	25	37.0	43.0	19.2	3.9	6.10	1.40	4.21	0.0505	0.0647

左の式より得て, $D_e = \delta \cdot D_4 \approx 1/2$ (D_4 : π_2 拡散係数, δ : 拡散率) 同じペレットの反応解析から求めた 0.13 値にて, 2 つとも拡散温度と拡散方向の差を考慮すると, 工業的結果とよく一致していると言える。以上からこの種の方法により, ペレットのガス還元に対する粒内拡散抵抗が確定できることと言えよう。

1) 近藤, 原, 総説, 金田; 金属学会報 (1965年), 請演概要 P. 82.

2) 近藤, 原, 総説, 工業; 鉄と鋼, 52, (1966) No. 11, 812

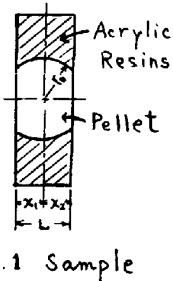


Fig. 1 Sample

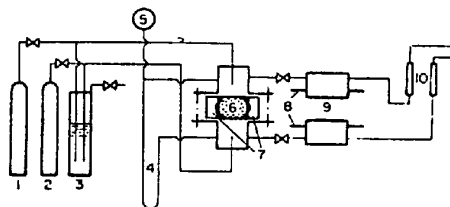


Fig. 2. Experimental apparatus.

- 1, 2 H_2, N_2 cylinders
- 3 Surge tank
- 4 Manometer
- 5 Pressure gauge
- 6 Porous pellet
- 7 Pellet container
- 8 H_2, N_2 reference gases
- 9 Thermal conductivity cell
- 10 Soap-film meter.